

# 钢筋混凝土板层状单元分析\*

张雷顺

(郑州工学院水环系)

**摘要:** 本文初步介绍了钢筋混凝土板的层状有限元法。

**关键词:** 钢筋混凝土板, 层状单元

钢筋混凝土板的非线性有限元分析, 国外自七十年代开始有人研究, 国内研究还很少, 至今仍有很多问题待解决。

钢筋混凝土板有限元分析, 采用层状单元是较为合适的。若引用变形的 Kirchhoff 假定, 则问题就可转化为二维问题, 从而可应用现有二维问题的本构关系及破坏准则, 按通常方法进行有限元分析。

本文以矩形层状单元为例, 简要地说明了该方法的分析过程。

## 1 单元剖分

用水平面和铅直面将板分成有限个矩形层状单元。含钢筋的单元称为钢筋层单元。参见图 1。

为方便, 中面单元称为基单元, 与中面单元重迭的单元称为伴随单元。每个单元有四个刚结点, 每个结点有五个自由度, 它们是  $x$ 、 $y$  向位移  $u$ 、 $v$ , 挠度  $w$ , 绕  $x$ 、 $y$  轴的转角  $\theta_x$ 、 $\theta_y$ 。单元之间仅通过结点相互作用。当板变形采用 Kirchhoff 假定时, 其单元与伴随单元对应结点形成刚性柱。

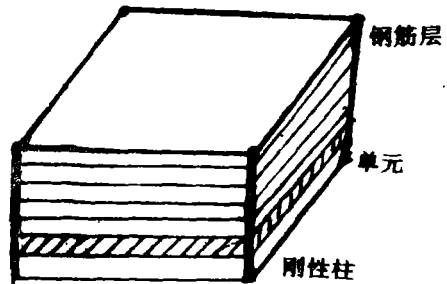


图 1

## 2 位移模式

基单元  $x$ 、 $y$  向位移  $u_0$ 、 $v_0$  与挠度  $w_0$  是最基本的物理量, 伴随单元的物理量可由其确定。

基单元位移模式取为:

\* 收稿日期: 1990.03.28

$$\begin{cases} u_0 = \alpha_1 + \alpha_2 x + \alpha_3 y + \alpha_4 xy & (1) \end{cases}$$

$$\begin{cases} v_0 = \alpha_5 + \alpha_6 x + \alpha_7 y + \alpha_8 xy & (2) \end{cases}$$

$$\begin{cases} w_0 = \beta_1 + \beta_2 x + \beta_3 y + \beta_4 x^2 + \beta_5 xy + \beta_6 y^2 + \beta_7 x^3 \\ \quad \beta_8 x^2 y + \beta_9 xy^2 + \beta_{10} y^3 + \beta_{11} x^3 y + \beta_{12} xy^3 & (3) \end{cases}$$

$$\begin{cases} \theta_{x0} = \frac{\partial W}{\partial y} = \beta_3 + \beta_5 x + 2\beta_6 y + \beta_8 x^2 + 2\beta_9 xy \\ \quad + 3\beta_{10} y^2 + \beta_{11} x^3 + 3\beta_{12} xy^2 & (4) \end{cases}$$

$$\begin{cases} \theta_{y0} = -\frac{\partial W}{\partial x} = -(\beta_2 + 2\beta_4 x + \beta_5 y + 3\beta_7 x^2 + 2\beta_8 xy \\ \quad + \beta_9 y^2 + 3\beta_{11} x^2 y + \beta_{12} y^3) & (5) \end{cases}$$

将结点x、y的坐标及结点位移代入(1)到(5), 可解得 $\alpha_1$ 至 $\alpha_8$ 和 $\beta_1$ 至 $\beta_{12}$ , 再代回整理后得:

$$\begin{cases} u_0 = N_i u_i + N_j u_j + N_m u_m + N_p u_p \\ v_0 = N_i v_i + N_j v_j + N_m v_m + N_p v_p \\ w_0 = H_i w_i + H_{xi} \theta_{xi} + H_{yi} \theta_{yi} + H_j w_j + H_{xj} \theta_{xj} + H_{yj} \theta_{yj} \\ \quad + H_m w_m + H_{xm} \theta_{xm} + H_{ym} \theta_{ym} + H_p w_p + H_{xp} \theta_{xp} + H_{yp} \theta_{yp} \end{cases} \quad (6)$$

其中:

$$\begin{cases} N_i = \frac{1}{4} \left(1 + \frac{\xi}{\xi_i}\right) \left(1 + \frac{\eta}{\eta_i}\right) = \frac{1}{4\xi_i \eta_i} (\xi_i + \xi)(\eta_i + \eta) \\ H_i = \frac{1}{8} (1 + \xi\xi_i)(1 + \eta\eta_i) + (2 + \xi\xi_i + \eta\eta_i - \xi^2 - \eta^2) \\ H_{xi} = -\frac{1}{8} b\eta_i (1 + \xi\xi_i)(1 + \eta\eta_i)(1 - \eta^2) \\ H_{yi} = \frac{1}{8} a\xi_i (1 + \xi\xi_i)(1 + \eta\eta_i)(1 - \xi^2) \end{cases} \quad (i, j, m, p) \quad (7)$$

$$\xi = \frac{x}{a}, \quad \xi_i = \frac{x_i}{a}, \quad \eta = \frac{y}{b}, \quad \eta_i = \frac{y_i}{b} \quad (i, j, m, p) \quad (8)$$

根据Kirchhoff假定, 距中面为z的伴随单元的位移应为:

$$\begin{cases} u = u_0 - z \frac{\partial w}{\partial x} = u_0 + z\theta_{y0} \\ v = v_0 - z \frac{\partial w}{\partial y} = v_0 - z\theta_{x0} \\ w = w_0 \\ \theta_x = \theta_{x0} \\ \theta_y = \theta_{y0} \end{cases} \quad (9)$$

将(9)写成矩阵形式:  $\{\Omega\} = [N]\{\delta\}^e \quad (10)$

其中:  $\{\Omega\} = [u \ v \ w \ \theta_x \ \theta_y]^T$

$$\{\delta\}^e = [u_i \ v_i \ w_i \ \theta_{xi} \ \theta_{yi} \ u_j \ v_j \ w_j \ \theta_{xj} \ \theta_{yj} \\ u_m \ v_m \ w_m \ \theta_{xm} \ \theta_{ym} \ u_p \ v_p \ w_p \ \theta_{xp} \ \theta_{yp}]^T$$

$$[N] = \{ A_i \ A_j \ A_m \ A_p \}$$

$$[A_i] = \begin{bmatrix} N_i & 0 & -z \frac{\partial H_i}{\partial x} & -z \frac{\partial H_{xi}}{\partial x} & -z \frac{\partial H_{yi}}{\partial x} \\ 0 & N_i & -z \frac{\partial H_i}{\partial y} & -z \frac{\partial H_{xi}}{\partial y} & -z \frac{\partial H_{yi}}{\partial y} \\ 0 & 0 & H_i & H_{xi} & H_{yi} \\ 0 & 0 & \frac{\partial H_i}{\partial y} & \frac{\partial H_{xi}}{\partial y} & \frac{\partial H_{yi}}{\partial y} \\ 0 & 0 & -\frac{\partial H_i}{\partial x} & -\frac{\partial H_{xi}}{\partial x} & -\frac{\partial H_{yi}}{\partial x} \end{bmatrix} \quad (i, j, m, p) \quad (11)$$

$$\begin{cases} \frac{\partial H_i}{\partial x} = \frac{1}{8a} (1 + \eta_i \eta) [\xi_i (2 + \xi_i \xi + \eta_i \eta - \xi^2 - \eta^2) + (1 + \xi_i \xi) (\xi_i - 2\xi)] \\ \frac{\partial H_i}{\partial y} = \frac{1}{8b} (1 + \xi_i \xi) [\eta_i (2 + \xi_i \xi + \eta_i \eta - \xi^2 - \eta^2) + (1 + \eta_i \eta) (\eta_i - 2\eta)] \\ \frac{\partial H_{xi}}{\partial x} = -\frac{b}{8a} \eta_i \xi_i (1 + \eta_i \eta) (1 - \eta^2) \\ \frac{\partial H_{xi}}{\partial y} = \frac{1}{8} \eta_i (1 + \xi_i \xi) (3\eta_i \eta^2 + 2\eta - \eta_i) \\ \frac{\partial H_{yi}}{\partial x} = -\frac{1}{8} \xi_i (1 + \eta_i \eta) (3\xi_i \xi^2 + 2\xi - \xi_i) \\ \frac{\partial H_{yi}}{\partial y} = \frac{a}{8b} \xi_i \eta_i (1 + \xi_i \xi) (1 - \xi^2) \end{cases}$$

$$(i, j, m, p) \quad (12)$$

位移模式(10)确定的单元是完备的, 但是不完全协调。

(10)式可做为基单元和伴随单元位移模式的统一表达式。

为了减少计算时间, 可只把基单元结点位移做为基本未知量。记基单元结点位移为:

$$\{\delta^0\}^e = [u_i^0 \ v_i^0 \ w_i^0 \ \theta_{xi}^0 \ \theta_{yi}^0 \ u_j^0 \ v_j^0 \ w_j^0 \ \theta_{xj}^0 \ \theta_{yj}^0 \\ u_m^0 \ v_m^0 \ w_m^0 \ \theta_{xm}^0 \ \theta_{ym}^0 \ u_p^0 \ v_p^0 \ w_p^0 \ \theta_{xp}^0 \ \theta_{yp}^0]^T$$

则伴随单元的结点位移为:

$$\{\delta\}^c = \{\delta^0\}^c + [ z\theta_{yi}^0 \quad -z\theta_{xi}^0 \quad 0 \quad 0 \quad 0 \quad z\theta_{yj}^0 \quad -z\theta_{xj}^0 \quad 0 \quad 0 \quad 0 \quad z\theta_{ym}^0 \quad -z\theta_{xm}^0 \quad 0 \quad 0 \quad 0 \quad z\theta_{yp}^0 \quad -z\theta_{xp}^0 \quad 0 \quad 0 \quad 0 ]^T$$

将其代入(10)整理后得:  $\{\Gamma\} = [N']\{\delta^0\}^c$  (13)

其中:  $[N'] = [ A'_i \quad A'_j \quad A'_m \quad A'_p ]$

$$[A'_i] = \begin{bmatrix} N_i & 0 & -z\frac{\partial H_i}{\partial x} & -z\frac{\partial H_{xi}}{\partial x} & z(N_i - \frac{\partial H_{yi}}{\partial x}) \\ 0 & N_i & -z\frac{\partial H_i}{\partial y} & -z(N_i + \frac{\partial H_{xi}}{\partial y}) & -z\frac{\partial H_{yi}}{\partial y} \\ 0 & 0 & H_i & H_{xi} & H_{yi} \\ 0 & 0 & \frac{\partial H_i}{\partial y} & \frac{\partial H_{xi}}{\partial y} & \frac{\partial H_{yi}}{\partial y} \\ 0 & 0 & -\frac{\partial H_i}{\partial x} & -\frac{\partial H_{xi}}{\partial x} & -\frac{\partial H_{yi}}{\partial x} \end{bmatrix} \quad (i, j, m, p) \quad (14)$$

### 3 等效结点荷载

单元等效结点荷载可根据实际荷载与等效结点荷载, 在任一满足相容条件虚位移上的虚功等值条件确定。

记等效结点荷载为:

$$\{\mathbf{R}\}^c = [ X_i \quad Y_i \quad Z_i \quad T_{xi} \quad T_{yi} \quad X_j \quad Y_j \quad Z_j \quad T_{xi} \quad T_{yj} \quad X_m \quad Y_m \quad Z_m \quad T_{xm} \quad T_{ym} \quad X_p \quad Y_p \quad Z_p \quad T_{xp} \quad T_{yp} ]^T$$

则点A(X, Y)处集中力p的等效结点荷载为:

$$\{\mathbf{R}\}^c = [N]_A^T \{p\} \quad (16)$$

其中:  $\{p\} = [ 0 \quad 0 \quad p \quad 0 \quad 0 ]^T$

集度为q的分布面力的等效结点荷载为:

$$\{\mathbf{R}\} = \iint [N]^T \{q\} dx dy \quad (17)$$

其中:  $\{q\} = [ 0 \quad 0 \quad q \quad 0 \quad 0 ]^T$

p、q以Z轴正向为正。

由于位于同一法线上的结点形成刚柱, 故同一刚柱上所得等效结点荷载都可以作用在基单元结点上。

当单元中心作用集中力p时:

$$\{\mathbf{R}\}^c = p [ 0 \quad 0 \quad \frac{1}{4} \quad \frac{b}{8} \quad -\frac{a}{8} \quad 0 \quad 0 \quad \frac{1}{4} \quad \frac{b}{8} \quad \frac{a}{8} \quad 0 \quad 0 \quad \frac{1}{4} ]^T$$

$$\left[ -\frac{b}{8} \frac{a}{8} 0 0 \frac{1}{4} -\frac{b}{8} -\frac{a}{8} \right]^T \quad (18)$$

当单元上作用均布荷载 $q$ 时:

$$\begin{aligned} \{R\}^e = 4abq & \left[ 0 0 \frac{1}{4} \frac{b}{12} -\frac{a}{12} 0 0 \frac{1}{4} \frac{b}{12} \frac{a}{12} 0 0 \frac{1}{4} \right. \\ & \left. -\frac{b}{12} \frac{a}{12} 0 0 \frac{1}{4} -\frac{b}{12} -\frac{a}{12} \right]^T \end{aligned} \quad (19)$$

#### 4 几何矩阵

将(13)代入几何方程

$$\varepsilon_x = \frac{\partial u}{\partial x}, \quad \varepsilon_y = \frac{\partial v}{\partial y}, \quad v_{xy} = \frac{\partial u}{\partial y} + \frac{\partial v}{\partial x}$$

$$\text{有: } \{\varepsilon\} = [B'] \{\delta^0\}^e \quad (20)$$

其中:

$$\begin{aligned} \{\varepsilon\} &= [\varepsilon_x \quad \varepsilon_y \quad v_{xy}]^T \\ [B'] &= [B'_i \quad B'_j \quad B'_m \quad B'_p] \\ [B'_i] &= \begin{bmatrix} \frac{\partial N_i}{\partial x} & 0 & -z \frac{\partial^2 H_i}{\partial x^2} & -z \frac{\partial^2 H_{xi}}{\partial x^2} & -z \left( \frac{\partial^2 H_{yi}}{\partial x^2} - \frac{\partial N_i}{\partial x} \right) \\ 0 & \frac{\partial N_i}{\partial y} & -z \frac{\partial^2 H_i}{\partial y^2} & -z \left( \frac{\partial^2 H_{xi}}{\partial y^2} + \frac{\partial N_i}{\partial y} \right) & -z \frac{\partial^2 H_{yi}}{\partial y^2} \\ \frac{\partial N_i}{\partial y} & \frac{\partial N_i}{\partial x} & -2z \frac{\partial^2 H_i}{\partial x \partial y} & -z \left( 2 \frac{\partial^2 H_{xi}}{\partial x \partial y} + \frac{\partial N_i}{\partial x} \right) & -z \left( 2 \frac{\partial^2 H_{yi}}{\partial x \partial y} - \frac{\partial N_i}{\partial y} \right) \end{bmatrix} \\ & \quad (i, j, m, p) \end{aligned} \quad (21)$$

$$\begin{aligned} \frac{\partial N_i}{\partial x} &= \frac{1}{4a\xi_i\eta_i} (\eta_i + \eta) \\ \frac{\partial N_i}{\partial y} &= \frac{1}{4b\xi_i\eta_i} (\xi_i + \xi) \\ \frac{\partial^2 H_i}{\partial x^2} &= \frac{1}{8a^2} (1 + \eta_i\eta) [\xi_i(\xi_i - 2\xi) + (\xi_i^2 - 4\xi_i\xi - 2)] \\ \frac{\partial^2 H_i}{\partial y^2} &= \frac{1}{8b^2} (1 + \xi_i\xi) [\eta_i(\eta_i - 2\eta) + (\eta_i^2 - 4\eta_i\eta - 2)] \end{aligned}$$

$$\begin{aligned}
 \frac{\partial^2 \Pi_i}{\partial x \partial y} &= \frac{1}{8ab} \{ \eta_i [\xi_i (2 + \xi_i \xi + \eta_i \eta - \xi^2 - \eta^2) + (1 + \xi_i \xi) \\
 &\quad (\xi_i - 2\xi)] + \xi_i (1 + \eta_i \eta) (\eta_i - 2\eta) \} \\
 \frac{\partial^2 H_{xi}}{\partial x^2} &= 0 \\
 \frac{\partial^2 H_{xi}}{\partial y^2} &= \frac{1}{4b} \eta_i (1 + \xi_i \xi) (3\eta_i \eta + 1) \\
 \frac{\partial^2 H_{xi}}{\partial x \partial y} &= \frac{1}{8a} \xi_i \eta_i (3\eta_i \eta^2 + 2\eta - \eta_i) \\
 \frac{\partial^2 H_{yi}}{\partial x^2} &= \frac{1}{4a} \xi_i (1 + \eta_i \eta) (3\xi_i \xi + 1) \\
 \frac{\partial^2 H_{yi}}{\partial y^2} &= 0 \\
 \frac{\partial^2 H_{yi}}{\partial x \partial y} &= -\frac{1}{8b} \xi_i \eta_i (3\xi_i \xi + 2\xi - \xi_i)
 \end{aligned}$$

(i, j, m, p) (22)

### 5 本构关系

混凝土层单元可视为增量正交异性体, 由于其处于双向应力状态, 可采用 Pecknold 所建议的增量形式的本构关系:

$$\begin{bmatrix} \Delta \sigma_1 \\ \Delta \sigma_2 \\ \Delta \tau_2 \end{bmatrix} = \frac{1}{1 - \mu^2} \begin{bmatrix} E_1 & \mu \sqrt{E_1 E_2} & 0 \\ \mu \sqrt{E_1 E_2} & E_2 & 0 \\ 0 & 0 & (1 - \mu^2)G \end{bmatrix} \begin{bmatrix} \Delta \varepsilon_1 \\ \Delta \varepsilon_2 \\ \Delta \tau_2 \end{bmatrix} \tag{23}$$

$\mu$ 为折合泊松比。

$$G = \frac{1}{4(1 - \mu^2)} (E_1 + E_2 - 2\mu \sqrt{E_1 E_2})$$

$E_1$ 、 $E_2$ 为施加上级荷载增量后, 在应力主向1、2的切线模量。

$E_1$ 、 $E_2$ 可知如下求得:

$$E_i = \frac{\partial \sigma_i}{\partial \varepsilon_{iu}} = \frac{E_0 [1 - (\frac{\varepsilon_{iu}}{\varepsilon_{ic}})^2]}{[1 + (\frac{E_0}{E_s} - 2)(\frac{\varepsilon_{iu}}{\varepsilon_{ic}}) + (\frac{\varepsilon_{iu}}{\varepsilon_{ic}})^2]^2}, \quad (i = 1, 2) \tag{24}$$

其中:  $\varepsilon_{ie}$  为等效单向应变;  $\varepsilon_{ic}$  为最大压应力  $\sigma_{ic}$  对应的等效应变;  $E_s = \frac{\sigma_{ic}}{\varepsilon_{ic}}$ ,  $E_0$  为原点切线模量。

$$(23) \text{可简记为: } \{\Delta\sigma\} = [D]\{\Delta\varepsilon\} \quad (25)$$

显然, 当  $E_1 = E_2$  时,  $[D]$  为平面应力状态下的弹性矩阵。

(25)式适用于局部应力主轴坐标系。利用转轴关系, 可得整体坐标下增量本构关系。

$$\{\Delta\sigma\} = [D]\{\Delta\varepsilon\} \quad (26)$$

设钢筋层单元的  $x$ 、 $y$  向截面积  $A_1$ 、 $A_2$ , 钢筋截面积为  $A_{g1}$ 、 $A_{g2}$ , 若双向采用相同的模量, 则会造成  $x$ 、 $y$  向厚度不同, 给有限元分析带来困难。为此采用保持厚度不变而调整模量的方法。

设钢筋的切线模量为  $E_g$ , 则  $x$ 、 $y$  向分别发生单位应变所需的力为  $A_{g1}E_g$ 、 $A_{g2}E_g$ 。折算模量为:

$$\begin{cases} E_{g1} = \lambda_1 \frac{A_{g1}}{A_1} E_g = \lambda_1 \eta_1 E_g \\ E_{g2} = \lambda_2 \frac{A_{g2}}{A_2} E_g = \lambda_2 \eta_2 E_g \end{cases} \quad (27)$$

其中:  $\lambda_1$ 、 $\lambda_2$  为钢筋层单元中混凝土影响系数。

$\eta_1$ 、 $\eta_2$  为钢筋层单元  $x$ 、 $y$  向配筋率。

这样, 钢筋层单元增量本构关系为:

$$\begin{bmatrix} \Delta\sigma_1 \\ \Delta\sigma_2 \\ \Delta\tau_2 \end{bmatrix} = \begin{bmatrix} E_{g1} & 0 & 0 \\ 0 & E_{g2} & 0 \\ 0 & 0 & 0.4E_0 \end{bmatrix} \begin{bmatrix} \Delta\varepsilon_1 \\ \Delta\varepsilon_2 \\ \Delta\tau_2 \end{bmatrix} \quad (28)$$

其中  $E_0$  为混凝土弹模。(28)式可简记为:

$$\{\Delta\sigma\} = [D]\{\Delta\varepsilon\} \quad (29)$$

上式适用于正交钢筋走向坐标系。

## 6 单刚与总刚

应用虚位移原理, 可导出单元刚度阵。设任给满足相容条件的虚位移和虚应变为  $\{\delta^*\}$ 、 $\{\varepsilon^*\}$ , 单元结点力为:

$$\{F\}^c = \begin{bmatrix} \{F_i\} \\ \{F_j\} \\ \{F_m\} \\ \{F_p\} \end{bmatrix}; \quad \{F_i\} = \begin{bmatrix} U_i \\ V_i \\ W_i \\ M_{\theta xi} \\ M_{\theta yi} \end{bmatrix} \quad (i, j, m, p)$$

由虚位移原理:  $(\{\delta^*\}^c)^T \{F\}^c = \iint \{\varepsilon^*\}^T \{\sigma\} t_c dA$

将:  $\{\varepsilon^*\} = [B]\{\delta^*\}^c, \quad \{\sigma\} = [D][B]\{\delta^*\}^c$

代入, 有:  $(\{\delta^*\}^c)^T \{F\}^c = (\{\delta^*\}^c)^T (\iint [B]^T [D][B] t_c dA) \{\delta^*\}^c$

由 $\{\delta^*\}^T$ 的任意性, 得:  $\{F\}^c = \iint [B]^T \{\sigma\} t_c dA$  (30)

或 $\{F\}^c = (\iint [B]^T [D][B] t_c dA) \{\delta\}^c$

其中:  $t_c$ 为单元c的厚度。

$$[B] = [B_i \quad B_j \quad B_m \quad B_p]$$

$$[B_i] = \begin{bmatrix} \frac{\partial N_i}{\partial x} & 0 & -z \frac{\partial^2 H_i}{\partial x^2} & -z \frac{\partial^2 H_{xi}}{\partial x^2} & -z \frac{\partial^2 H_{yi}}{\partial x^2} \\ 0 & \frac{\partial N_i}{\partial y} & -z \frac{\partial^2 H_i}{\partial y^2} & -z \frac{\partial^2 H_{xi}}{\partial y^2} & -z \frac{\partial^2 H_{yi}}{\partial y^2} \\ \frac{\partial N_i}{\partial y} & \frac{\partial N_i}{\partial x} & -2z \frac{\partial^2 H_i}{\partial x \partial y} & -2z \frac{\partial^2 H_{xi}}{\partial x \partial y} & -2z \frac{\partial^2 H_{yi}}{\partial x \partial y} \end{bmatrix}$$

(i, j, m, p) (31)

从而得单元刚度阵:  $[k] = \iint [B]^T [D][B] t_c dA$  (32)

于是:  $\{F\}^c = [k]\{\delta\}^c$  (33)

若把基单元j的第i个伴随单元的单刚记为 $[k]^{ij}$ , 则:

$$\{F\}^j = [k]^{ij} \{\delta\}^i \quad (34)$$

将基单元及伴随单元的(34)式相加, 有:  $\sum_i \{F\}^i = \sum_i [k]^{ij} \{\delta\}^j$

注意到 $\{\delta\}^j$ 与基单元结点位移 $\{\delta^0\}^j$ 的关系, 上式可写为:

$$\{F\}^j = (\sum_i [k]^{ij}) \{\delta^0\}^j \quad (35)$$

其中:  $\{F\}^j$  为第  $j$  个基单元及伴随单元的刚柱的刚柱力。

$[k']^j$  为  $[k]^j$  的  $4 + 5n$  列变为  $4 + 5n$  列减去  $2 + 5n$  列的差,  $5 + 5n$  列变为  $5 + 5n$  列加上  $1 + 5n$  列的和,  $n = 0, 1, 2, 3$ , 其它列不变的矩阵。

$$\text{记: } \sum_i [k']^j = [[k']^j \quad (36)$$

$$\text{则(35)可写为: } \{F\}^j = [k']^j \{\delta^0\}^j \quad (37)$$

$[k]^j$  称为基单元的等效刚度阵。

根据所有刚柱的平衡条件, 经推导有:

$$[K]\{\delta\} = \{k\} \quad (38)$$

其中:  $\{k\}$  为所有刚柱上等效刚柱荷载向量;

$\{\delta\}$  为所有基单元的结点位移向量;

$\{K\}$  为总刚度阵, 可由下式计算:

$$[K] = \sum_j [k']^j = \sum_j \sum_i [k']^j \quad (39)$$

## 7 破坏准则

### 7.1 混凝土破坏准则

混凝土处于双向应力状态时, 可采用目前国际上较流行的 Kupfer(1973)提出的破坏准则:

$$\sigma_1 < 0, \quad \sigma_2 < 0$$

$$\sigma_{2c} = \frac{1 + 3.65\alpha}{(1 + \alpha)^2} \sigma_c$$

$$\sigma_{1c} = \alpha \sigma_{2c}, \quad \alpha = \frac{\sigma_1}{\sigma_2}$$

$$\sigma_1 < 0, \quad \sigma_2 > 0$$

$$\begin{cases} \sigma_{2c} = \frac{1 + 3.28\alpha}{(1 + \alpha)^2} \sigma_c \\ \sigma_{1c} = \alpha \sigma_{2c} \end{cases} \quad (-0.17 \leq \alpha \leq 0)$$

$$\begin{cases} \sigma_{2c} = 0.65\sigma_c \\ \sigma_{1c} = R_1 \end{cases} \quad (-\infty < \alpha < -0.17)$$

$$\sigma_1 < 0, \quad \sigma_2 < 0$$

$$\sigma_{1c} = R_1, \quad \text{或: } \sigma_{2c} = R_1$$

其中  $\sigma_c$ 、 $R_1$  为混凝土单轴抗压、抗拉强度,  $\sigma_{1c}$ 、 $\sigma_{2c}$  为  $\sigma_1$ 、 $\sigma_2$  向的破坏强度。

### 7.2 钢筋层的处理

假定钢筋为理想弹塑性体, 则当  $x$  向钢筋屈服时:  $E_{g1} = 0, \quad E_{g2} = E_{g2}$

当  $y$  向钢筋屈服时:  $E_{g1} = E_{g1}, \quad E_{g2} = 0$

当双向屈服时:  $E_{g1} = E_{g2} = 0$

若假定钢筋为其它模型时, 也可写出钢筋屈服后相应模量表达式。

## 8 单元破坏

采用(10)式所示的位移模式, 层单元内的应力、应变为  $x$ 、 $y$  的函数, 也就是说各点的应力、应变是不同的。这种单元破坏处理不象常应力常应变单元那么简单。目前对此处理方法不一。当对裂缝位置及伸展情况没有过高精度要求时, 可以采用不划裂缝边界的模型。

最简单的办法是将单元内几个控制点的应力加以平均, 把平均应力做为单元应力, 然后利用破坏准则进行判断。

也可以采用等效常应力、常应变的子单元模型。首先规定单元中几个控制点, 将其邻近部分做为点的控制域, 每个控制域为一个子单元。根据有限元的理论基础变分原理知, 在保持子单元形变势能不变情况下, 可用子单元所谓等效常应力与常应变来代替。设第  $i$  级荷载增量施加后, 子单元应力增量及应变为  $\{\Delta\sigma\}_i$  和  $\{\varepsilon\}_i$ , 则子单元形变势能为:

$$\iint_{\Delta_i} \{\varepsilon\}_i^T \{\Delta\sigma\}_i dA$$

设单元等效应力增量及应变为  $\{\Delta\bar{\sigma}\}_i$  和  $\{\bar{\varepsilon}\}_i$ , 由等值条件得:

$$\{\bar{\varepsilon}\}_i^T \{\Delta\bar{\sigma}\}_i = \frac{1}{\Delta_i} \iint_{\Delta_i} \{\varepsilon\}_i^T \{\Delta\sigma\}_i dA \quad (40)$$

$\{\Delta\bar{\sigma}\}_i$  可采用逐渐逼近法求得。先以控制点值做为第一近似值, 比较(40)式两边大小, 定下第二近似值, 经几次试算得等效应力值。根据等效应力来判断单元是否处于破坏状态。

利用  $\{\Delta\varepsilon\}_i = [B]_i \{\Delta\delta\}_i^e$  求得控制点  $i$  的应变增量, 进而由  $\{\Delta\sigma\}_i = [D]_i \{\Delta\varepsilon\}_i$  求得控制点  $i$  的应力增量。由于子单元很小, 可把求得的  $\{\Delta\varepsilon\}_i$ 、 $\{\Delta\sigma\}_i$  做为子单元的应变增量、应力增量, 据此来判断单元是否处于破坏状态。

采用子单元模型时, 若  $i$  点  $\sigma_i$  向受拉破坏,  $[D]_i$  可取为:

$$[D]_i = \begin{bmatrix} 0 & 0 & 0 \\ 0 & E & 0 \\ 0 & 0 & \beta G \end{bmatrix}$$

当其受压破坏时:  $[D]_i = \begin{bmatrix} 0 & 0 & 0 \\ 0 & 0 & 0 \\ 0 & 0 & \beta G \end{bmatrix}$

其中  $\beta$  为剪力因子。

$$\text{于是由: } [k]_i = \iint_{\Delta_i} [B]^T [D]_i [B] t_c dA$$

可求得子单元刚度阵。式中 $\Delta_i$ 为子单元*i*的积分域。整个单元刚度阵为所有子单元刚度阵之和,即:

$$[k]^c = \sum_i [k]_i$$

在子单元破坏时,一方面要调正单元刚度阵,另一方面由于引起应力的重分布,要确定不平衡结点力。设子单元超额应力为 $\{\sigma\}_{\alpha}^i$ ,则不平衡结点力为:

$$[F]_i^c = \iint_{\Delta_i} [B]^T \{\sigma\}_{\alpha}^i dA \quad (41)$$

## 9 结束语

本文初步讨论了钢筋混凝土板的层状元法,此法的特点是:

- 1、考虑了板中面的水平位移;
- 2、运用了基单元概念,从而使问题求解转化为基单元结点位移,可减小计算时间;
- 3、对单元破坏引用了子单元模型,这从一方面体现了单元劲化,给处理带来了一定方便;
- 4、采用本法可以计算板的非线性及开裂问题。

## 参 考 文 献

- (1) Z.P.Bazant等著. 钢筋混凝土有限元分析, 1982年
- (2) 张雷顺. 钢筋混凝土板层状单元法分析, 1990年
- (3) 周氏等编. 现代钢筋混凝土基本理论. 上海交通大学出版社, 1989年
- (4) A.C.阿加雷著. 板壳应力, 1981年

## Analysis of Reinforced Concrete Slabs by the Layer Lement

Zhang LciShun

(Zhengzhou Institute of Technology)

**Abstract:** In this paper, analysis of reinforced concrete slabs by the layer lements is introduced.

**Keywords:** reinforced concrete slabs, finite element method